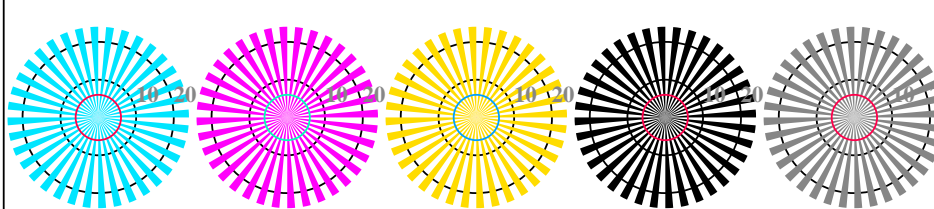


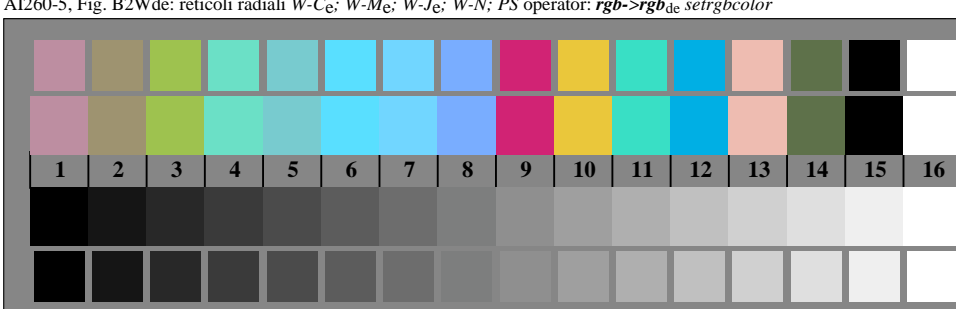
iscrizione TUB: 20190301-AI26/AI26L0FA.TXT/.PS
 Application per la misura dell'output di display et output di stampa

TUB materiale: code=rha4ta

vedi file simili: <http://farbe.li.tu-berlin.de/AI26/AI26.HTM>
 informazioni tecniche: <http://farbe.li.tu-berlin.de/o> <http://farbe.li.tu-berlin.de/AE.HTM>

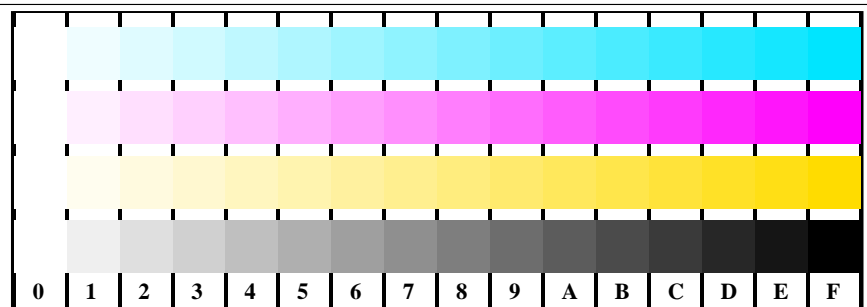


AI260-5, Fig. B2Wde: reticolli radiali $W-C_e$; $W-M_e$; $W-J_e$; $W-N$; PS operator: $rgb \rightarrow rgb_{de}$ setrgbcolor



AI260-7, Fig. B3Wde: 14 prova colori CIE i 2 + 16 grigio passi (sf); $rgb/cm\gamma 0 \rightarrow rgb_{de}$ setrgbcolor

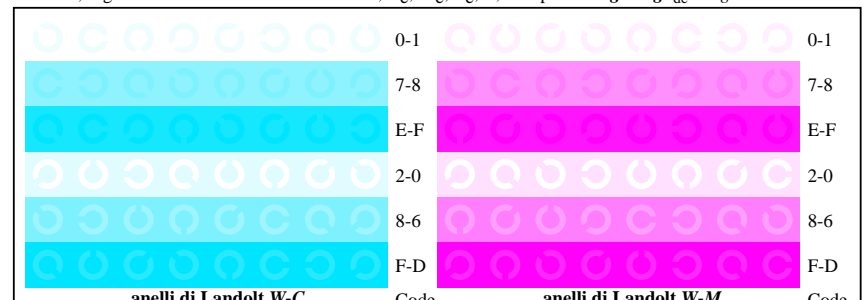
Grafico AI26 conformemente a grafico 2 a ISO/IEC 15775
 Tavola dei colori cromatici CMYK



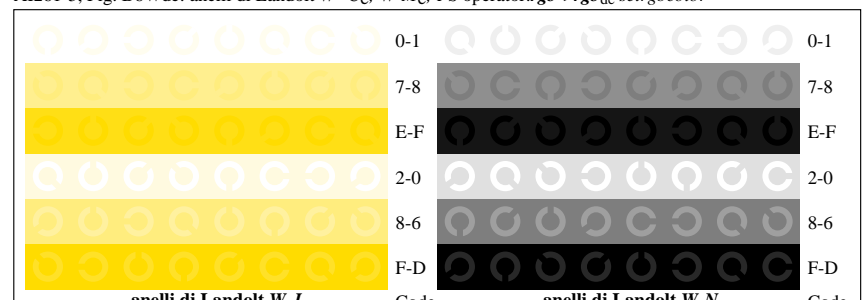
AI261-1, Fig. B4Wde: 16 equidistante passi $W-C_e$; $W-M_e$; $W-J_e$; $W-N$; $rgb/cm\gamma 0 \rightarrow rgb_{de}$ setrgbcolor

+-.	C	lmno	pqr	tuvw
xyz;	O	hijk	O	O
tuvw	O	defg	O	O
pqrs	O	!abc	O	O
lmno	O	+-.	O	O
hijk	O	xyz;	O	O
defg	O	tuvw	O	O
!abc	O	pqrs	O	O
10	N	lmno	N	C_e M_e Y_e Z
		hijk		
		defg		
		!abc		
		10		N C_e M_e Y_e Z

AI261-3, Fig. B5Wde: codice i Landolt anelli N; C_e ; M_e ; Y_e ; Z; PS operator: $rgb \rightarrow rgb_{de}$ setrgbcolor



AI261-5, Fig. B6Wde: anelli di Landolt $W-C_e$; $W-M_e$; PS operator: $rgb \rightarrow rgb_{de}$ setrgbcolor



AI261-7, Fig. B7Wde: anelli di Landolt $W-J_e$; $W-N$; PS operator: $rgb \rightarrow rgb_{de}$ setrgbcolor

Input: $rgb/cm\gamma 0/000n/w$ set...
 Output: $\rightarrow rgb_{de}$ setrgbcolor